

УДК 624.21

ДОСЛІДЖЕННЯ РОЗПОДЛУ ВНУТРІШНІХ ЗУСИЛЬ В ЕЛЕМЕНТАХ КОМБІНОВАНОЇ ВИСЯЧОЇ СИСТЕМИ З БАЛКОЮ ЖОРСТКОСТІ ВІД РУХОМОГО ТИМЧАСОВОГО НАВАНТАЖЕННЯ

**В. О. Голеско, проф., к. т. н., Д. С. Махонько, Є. М. Микало, студ.,
Харківський національний автомобільно-дорожній університет**

Анотація. Наведено результати визначення зусиль в елементах комбінованої висячої системи від рухомого навантаження АК при декількох значеннях стріли провисання троса.

Ключові слова: висяча комбінована система, рухоме тимчасове навантаження, внутрішні зусилля.

ИССЛЕДОВАНИЕ РАСПРЕДЕЛЕНИЯ ВНУТРЕННИХ УСИЛИЙ В ЭЛЕМЕНТАХ КОМБИНИРОВАННОЙ ВИСЯЧЕЙ СИСТЕМЫ С БАЛКОЙ ЖЕСТКОСТИ ОТ ПОДВИЖНОЙ ВРЕМЕННОЙ НАГРУЗКИ

**В. А. Голеско, проф., к. т. н., Д. С. Махонько, Е. Н. Мыкало, студ.,
Харьковский национальный автомобильно-дорожный университет**

Аннотация. Приведены результаты определения усилий в элементах комбинированной висячей системы от подвижной нагрузки АК при нескольких значениях стрелы провисания троса.

Ключевые слова: висячая комбинированная система, подвижная временная нагрузка, внутренние усилия.

INVESTIGATION OF INTERNAL FORCES DISTRIBUTION IN THE ELEMENTS OF THE COMBINED SUSPENDED SYSTEM WITH RIGIDITY GIRDERS CAUSED BY TEMPORARY LOADING

**V. Golesko, Prof., Ph. D. (Eng.), D. Makhonko, E. Mykalo, St.,
Kharkiv National Automobile and Highway University**

Abstract. The results of forces determination in the elements of the combined suspended system as a result of AK temporary loading at particular values of the cable sag are presented.

Key words: suspended combined system, movable temporary loading, internal forces.

Вступ

Комбіновані висячі системи найчастіше використовують як мостові конструкції, особливо у випадках, коли необхідно перекривати великі прольоти. Комбінована система складається з балки або ферми жорсткості, яка поєднується підвісками із тросами.

Розрахунок таких конструкцій достатньо складний і для кожного випадку має свої особливості. Комбіновані системи розрахо-

вують як на постійні нерухомі навантаження, так і на рухомі, які передає на них рухомий транспорт.

Аналіз публікацій

Розрахунок комбінованих конструкцій полягає у визначені внутрішніх зусиль в елементах тросів, підвісках, моментів і поперечних сил у перерізах балок жорсткості та внутрішніх зусиль у стержнях ферми жорсткості. Дослідженю зусиль в елементах висячої конс-

трукції від зовнішнього навантаження залежно від співвідношення її різних параметрів присвячено досить багато робіт [1, 2, 3, 4, 5, 6, 7]. Слід зауважити, що кожна нова мостова конструкція, особливо висяча комбінована система, потребує детального аналізу з конструктивної точки зору і з урахуванням місцевих умов її будівництва та її подальшої роботи. Тому збір даних розрахунку таких систем, особливо на рухоме навантаження, є досі актуальним.

Мета і постановка завдання

Метою дослідження є оцінювання розподілу внутрішніх зусилля в елементах комбінованої висячої системи з балкою жорсткості прольотом $\ell = \text{const}$ від рухомого тимчасового навантаження, яке створює рухомий транспорт, при різних значеннях стріли провисання троса f .

Оскільки внутрішні зусилля в перерізах будь-якої конструкції визначаються від рухомого навантаження за лініями впливу, для аналізу розподілу зусиль в елементах комбінованої системи необхідно побудувати лінії впливу зусиль в елементах троса, в підвісках, моментів у перерізах балки жорсткості. За лініями впливу слід визначити внутрішні зусилля від рухомого тимчасового навантаження AK за його невигідного розташування, а також побудувати розрахункову обвідну епюру моментів у балці жорсткості.

Основні положення та аналіз розрахунку

Загальну схему статично визначені комбінованої висячої системи з балкою жорсткості, проліт якої становить $\ell = 40$ м, наведено на рис. 1, а. На рис. 1, б показано просту балку такого ж прольоту, як і балки жорсткості.

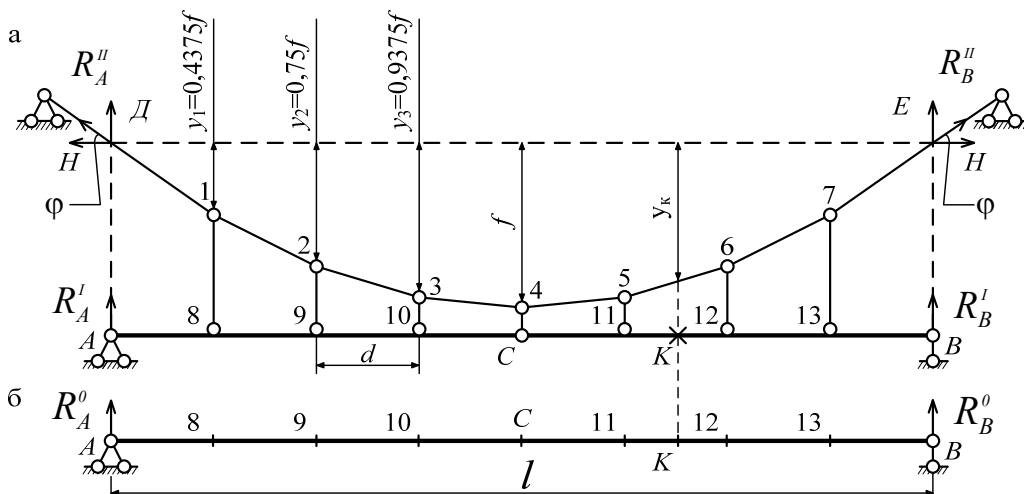


Рис. 1. Загальна розрахункова схема: а – комбінована висяча система; б – звичайна приста балка

Для розрахунку опори балки жорсткості проектиуються на елементи троса (точки Д, Е). Вузли з'єднання підвісок з елементами троса знаходяться на осі квадратної параболи, рівняння якої має вигляд

$$y = \frac{4f}{\ell^2} x(\ell - x), \quad (1)$$

де y – ордината точки осі троса; f – стріла провисання троса; x – відстань від початку ординат (точка Д) до вузла з'єднання троса з підвіскою.

Геометричні характеристики елементів троса при декількох значеннях стріли його прови-

сання f для лівої частини системи наведено в табл. 1. Для правої частини конструкції $\operatorname{tg} \varphi < 0$.

Для визначення зусилля в елементах комбінованої системи розглядається рівновага частини конструкції А Д Е В. Зусилля в елементах троса розподіляються на вертикальну і горизонтальну складові. Горизонтальна складова однаакова у всіх елементах троса, вона називається розпором і позначається Н.

Незалежно від характеру навантаження елементи троса та підвіски працюють тільки на розтяг. Балка жорсткості працює на згин.

Таблиця 1 Довжина елементів троса, cosφ, tgφ при декількох значеннях стрілі провисання f

f, м	Геометричні характеристики	Елемент троса			
		Д-1	1-2	2-3	3-4
2	l, м	5,076	5,039	5,014	5,002
	cosφ	0,985	0,992	0,997	0,999
	tgφ	0,175	0,125	0,075	0,025
4	l, м	5,297	5,154	5,056	5,006
	cosφ	0,944	0,970	0,989	0,999
	tgφ	0,350	0,250	0,150	0,050
6	l, м	5,645	5,340	5,125	5,014
	cosφ	0,886	0,936	0,976	0,997
	tgφ	0,525	0,375	0,225	0,075
8	l, м	6,103	5,590	5,220	5,025
	cosφ	0,819	0,894	0,958	0,995
	tgφ	0,700	0,500	0,300	0,100

Під час розрахунку всієї конструкції враховують опорні реакції і моменти в перерізах простої балки (рис. 1, б).

Для побудови ліній впливу зусиль в перерізах елементів комбінованої системи використовуються такі самі залежності, що і при розрахунку на нерухоме навантаження [7], з урахуванням того, що навантаженням у цьому випадку є одиничний, зосереджений, рухомий вантаж.

Лінія впливу розпору Н буде залежати від рівняння

$$\text{Л.впл. } H = \left(\frac{1}{f} \right) \text{Л.впл. } M_c^o, \quad (2)$$

де $\text{Л.впл. } M_c^o$ – лінія впливу балочного моменту в перерізі «C» простої балки.

Ординати ліній впливу балкового моменту M_c^o залежать тільки від довжини балки і положення перерізу «C». Ординати ліній впливу розпору H залежать як від параметрів балки, так і від значення стрілі провисання троса.

Для запису рівнянь ліній впливу зусиль в елементах троса і в підвісках використовуються залежності, які одержано при розгляданні рівноваги вузла їх поєднання [7].

Рівняння ліній впливу зусилля у будь-якому елементі троса між вузлами «n», «n-1» має вигляд

$$\text{Л.впл. } N_{n, n-1} = \left(\frac{1}{\cos \varphi_{n, n-1}} \right) \text{Л.впл. } H. \quad (3)$$

Рівняння ліній впливу зусилля у будь-якій підвісці «n»

$$\text{Л.впл. } N_n = (\tan \varphi_{n, n-1} - \tan \varphi_{n, n+1}) \text{Л.впл. } H. \quad (4)$$

Для побудови ліній впливу зусиль у підвісках правої частини системи тангенси кутів нахилу зусиль в елементах троса слід взяти з від'ємним знаком.

Оскільки система симетрична й елементи троса та підвіски працюють тільки на розтяг, лінії впливу зусиль у цих елементах мають вигляд симетричного трикутника з максимальною ординатою під шарніром «C». Крім того, ординати ліній впливу зусиль в симетричних елементах троса однакові за величиною. Якщо взули поєднання елементів троса з підвіскою знаходяться на осі квадратної параболи, як у більшості комбінованих систем, різниця тангенсів кутів нахилу суміжних елементів троса буде однаковою. З цього випливає, що в симетричних комбінованих системах навіть при несиметричному навантаженні зусилля в підвісках однакові.

Рівняння ліній впливу моменту у будь-якому перерізі «K» балки жорсткості має вигляд

$$\text{Л.впл. } M_k = \text{Л.впл. } M_c^o + (-y_k) \text{Л.впл. } H, \quad (5)$$

де $\text{Л.впл. } M_k^o$ – лінія впливу балкового моменту в перерізі «K» простої балки; $\text{Л.впл. } H$ – лінія впливу розпору H; y_k – ордината точки провисання троса над перерізом «K».

Лінії впливу моментів у симетричних перерізах балки жорсткості симетричні за виглядом та ординатами, тобто:

$$\text{Лінія впливу } M_{13} = \text{Лінія впливу } M_8;$$

$$\text{Лінія впливу } M_{12} = \text{Лінія впливу } M_9; \quad (6)$$

$$\text{Лінія впливу } M_{11} = \text{Лінія впливу } M_{10}.$$

За лініями впливу можна визначити зусилля від будь-якого навантаження. У цьому випадку розглянуто рухоме навантаження «АК» (рис. 2). Воно складається з рівномірно розподіленого навантаження з інтенсивністю $V = 11 \text{ kN/m}$, еквівалентного навантаженню від колони рухомого транспорту, та візка, який передає на конструкцію однакові сили $P = 108 \text{ kN}$ кожною парою коліс.

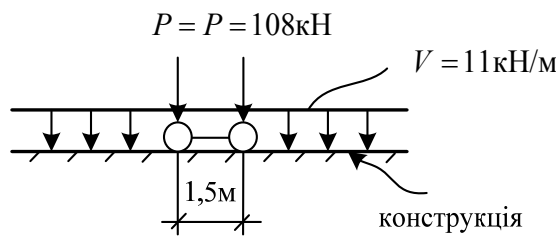


Рис. 2. Схема рухомого навантаження АК

Загальна формула для визначення зусиль за лініями впливу від рухомого навантаження АК має вигляд

$$Z = \sum P \cdot Y + \sum V \cdot \omega, \quad (7)$$

де Z – шукане зусилля будь-якого виду; P – сила, яка передається на конструкцію парою коліс візка; Y – ордината лінії впливу зусилля під силою P ; V – інтенсивність розподіленого рухомого навантаження; ω – площа лінії впливу зусилля під розподіленим навантаженням.

Розташування рухомого навантаження над лінією впливу має бути розрахунковим, тобто таким, за якого шукане зусилля досягає найбільшого значення.

Над двозначними лініями впливу моментів у перерізах балки жорсткості рухоме навантаження розташовується окремо над додатними частинами графіка для знаходження найбільшого додатного моменту M_{\max} та окремо над від'ємними частинами для визначення найбільшого за модулем від'ємного моменту M_{\min} .

$$\begin{aligned} M_{\max} &= \sum P Y_i + \sum V \cdot \omega_k, \\ M_{\min} &= -\left(\sum P Y_i + \sum V \cdot \omega_k \right). \end{aligned} \quad (8)$$

На рис. 3 наведено лінії впливу розпору H , зусилля в елементі троса N_{1-2} , зусилля у підвісці N_{2-9} , а також лінії впливу моментів у перерізах балки жорсткості M_8 , M_9 , M_{10} .

Над кожною лінією впливу показано розрахункове розташування рухомого навантаження АК для знаходження зусиль. Над однозначними лініями впливу розпору H , зусилля в елементі троса N_{1-2} , зусилля в під-

вісці N_{2-9} розподілене рухоме навантаження V розташовується над всією лінією впливу.

Одна пара коліс візка зупиняється над вершиною трикутника, друга – ліворуч або праворуч від неї, де ордината під колесом більша. У даному випадку ці ординати однакові за рахунок симетричності ліній впливу.

Двозначність ліній впливу моментів вказує на те, що моменти від рухомого навантаження в балці жорсткості можуть бути як додатними, так і від'ємними. Тому необхідно розташовувати рухоме навантаження окремо над додатною частиною лінії впливу і окремо над від'ємною для визначення M_{\max} , M_{\min} .

Залежності для визначення зусиль за лініями впливу від рухомого навантаження за (7), (8) мають вигляд:

розпір

$$H_{\max} = V \cdot \omega_1 + P(Y_1 + Y_2), \quad H_{\min} = 0;$$

зусилля в елементі троса

$$N_{1-2,\max} = V \cdot \omega_2 + P(Y_3 + Y_4), \quad N_{1-2,\min} = 0;$$

зусилля в підвісці N_{2-9}

$$N_{2-9,\max} = V \cdot \omega_3 + P(Y_5 + Y_6), \quad N_{2-9,\min} = 0;$$

моменти в перерізах балки жорсткості

$$M_{8,\max} = V \cdot \omega_4 + P(Y_7 + Y_8);$$

$$M_{8,\min} = -[V \cdot \omega_5 + P(Y_9 + Y_{10})];$$

$$M_{9,\max} = V \cdot \omega_6 + P(Y_{11} + Y_{12});$$

$$M_{9,\min} = -[V \cdot \omega_7 + P(Y_{13} + Y_{14})];$$

$$M_{10,\max} = V \cdot \omega_8 + P(Y_{15} + Y_{16});$$

$$M_{10,\min} = -[V \cdot \omega_9 + P(Y_{17} + Y_{18})].$$

Для визначення зусиль в інших елементах системи виконано аналогічну роботу.

У табл. 2 наведено величини розпору H , а також зусиль в елементах троса лівої частини системи при декількох значеннях його стріли провисання.

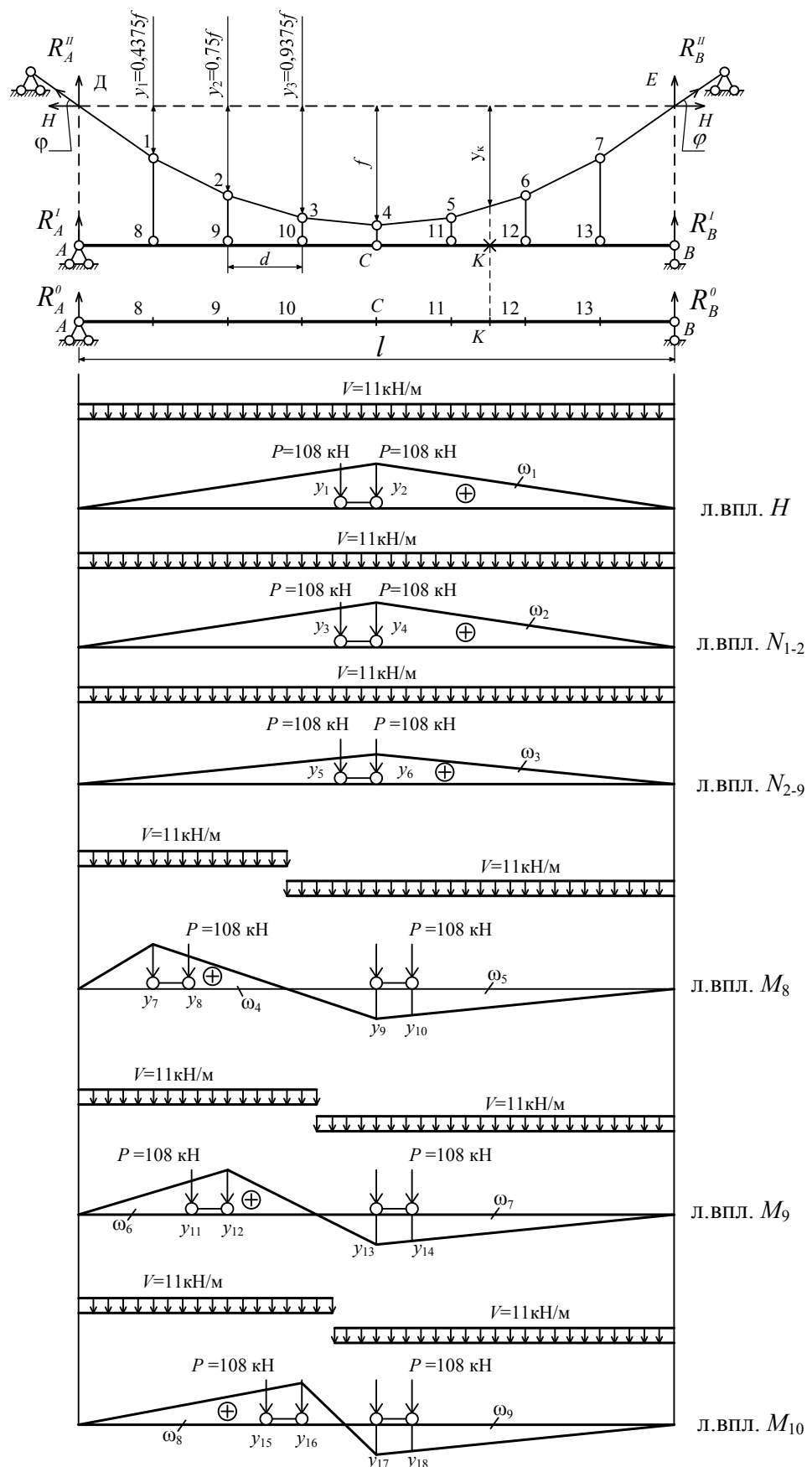


Рис. 3. Лінії впливу розпору H , зусилля N_{1-2} в елементі троса, зусилля N_{2-9} у підвісці, моментів M_8 , M_9 , M_{10} у перерізах балки жорсткості з розташуванням рухомого навантаження АК

Таблиця 2 Максимальні значення розпору, зусиль в елементах троса, у підвісках від рухомого навантаження АК

$$(H_{\min} = 0; N_{\min} = 0)$$

Стріла провисання $f, \text{м}$	Розпір H, kH	Зусилля в елементах троса, kH			
		$N_{\Delta-1}$	N_{1-2}	N_{2-3}	N_{3-4}
2	2140	2173	2157	2146	2142
4	1070	1134	1103	1082	1071
6	713	805	762	731	715
8	535	653	598	559	538
Зусилля в підвісках		$N_{1-8} = N_{2-9} = N_{3-10} = N_{4-C} = 107 \text{ kH}$			

Найбільші зусилля виникають у крайніх елементах троса $N_{\Delta-1}$, найменші – в середніх N_{3-4} .

Зі зростанням величини стріли провисання троса зусилля в його елементах зменшуються (табл. 2, рис. 4).

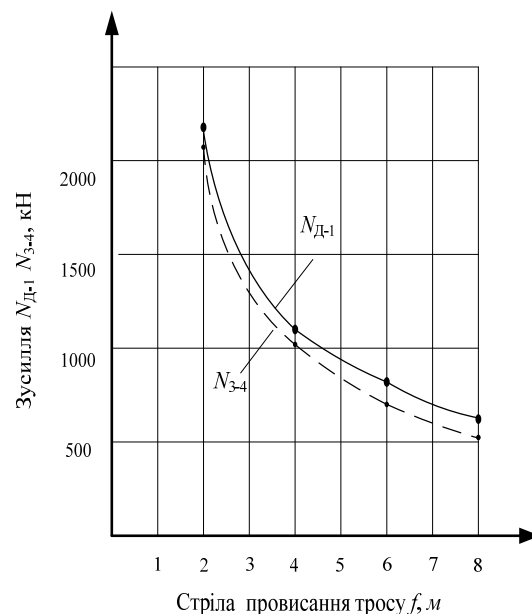


Рис. 4. Змінювання зусилля в елементах троса $N_{\Delta-1}$, N_{3-4} від рухомого навантаження АК залежно від стріли його провисання

На рис. 5 наведено обвідну (розрахункову) епюру моментів у балці жорсткості від рухомого навантаження АК.

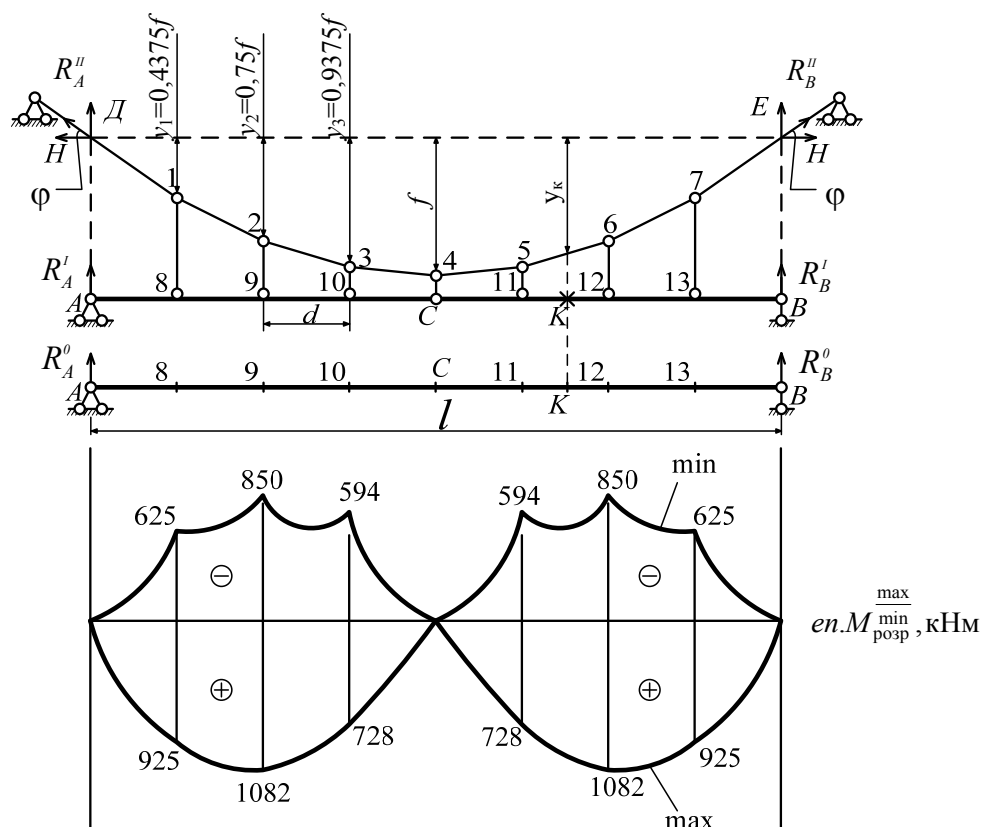


Рис. 5. Обвідна епюра розрахункових максимальних M_{\max} та мінімальних M_{\min} моментів у балці жорсткості від рухомого навантаження АК

Максимальні та мінімальні моменти в перерізах балки жорсткості від рухомого навантаження АК при довжині прольоту $\ell = \text{const}$, як і при нерухомому навантаженні, не змінюються залежно від значень стріли провисання троса (табл. 3).

Таблиця 3 Максимальні та мінімальні моменти в перерізах балки жорсткості від рухомого навантаження АК

Стріла провисання троса	$M_8 = M_{11}$, кНм		$M_9 = M_{12}$, кНм		$M_{10} = M_{11}$, кНм		M_C
	max	min	max	min	max	min	
$f = 2, 4, 6, 8 \text{ м}$	925	625	1082	850	728	594	0

Обвідна епюра показує, що моменти в балці жорсткості від рухомого навантаження змінюються у широкому діапазоні за величиною і знаком. Найбільших значень і максимальні, і мінімальні моменти досягають у перерізах 9 та 12 балки жорсткості.

Висновки

Проведено дослідження роботи комбінованої висячої системи з балкою жорсткості ($\ell = \text{const}$) від рухомого тимчасового навантаження АК при декількох значеннях стріли провисання троса f , для чого побудовано лінії впливу досліджені зусиль.

Як і при дії нерухомого навантаження [7], найбільших значень досягають зусилля в крайніх елементах троса, найменших – у середніх. Співвідношення стріли провисання f до прольоту балки жорсткості ℓ значно впливає на їх величину. Зі збільшенням стріли провисання f від 2 м до 8 м зусилля в елементах троса зменшуються у 3–4 рази.

У підвісках зусилля мають однакову величину, що характерно для конструкції з розташуванням вузлів їх поєднання з тросом на осі квадратної параболи.

Побудовано обвідну епюру максимальних та мінімальних моментів у балці жорсткості від рухомого навантаження АК. Ординати епюри не залежать від співвідношення стріли про-

висання троса до прольоту балки жорсткості, як і при нерухомому навантаженні [7].

Величини максимальних та мінімальних моментів у балці жорсткості коливаються у широкому діапазоні і найбільших значень досягають у середніх перерізах балки між опорою та шарніром.

Аналіз змінювання зусиль в елементах троса і підвісках від рухомого навантаження показує, що, як і при дії статичного навантаження [7], співвідношення стріли провисання до прольоту балки слід рекомендувати у діапазоні $\frac{f}{\ell} = \frac{1}{11} \div \frac{1}{8}$.

Література

1. Киселев В. А. Строительная механика / В. А. Киселев. – М.: Стройиздат, 1986. – 520 с.
2. Бутенко Ю. И. Строительная механика: учеб. для вузов / под ред. Ю. И. Бутенко. – К.: Вища школа, 1989. – 480 с.
3. Юхані Вірола. Видатні мости світу / Ю. Вірола. – К.: Видавництво Національного транспортного університету, 2001. – 56 с.
4. Кирсанов Н. М. Висячие и вантовые конструкции / Н. М. Кирсанов. – М.: Стройиздат, 1986. – 520 с.
5. Рокар И. Неустойчивость в механике / И. Рокар. – М.: Изд-во иностранной литературы, 1959. – 288 с.
6. Бондарь Н. Г. Как работают мосты / Н. Г. Бондарь – К.: Наукова думка, 1986. – 120 с.
7. Аналіз змінювання внутрішніх зусиль в елементах висячої комбінованої системи залежно від співвідношення її параметрів при статичному навантаженні / В. О. Голеско, Є. О. Віхров, Д. О. Лукін, А. В. Лизогуб // Вісник ХНАДУ. – 2012. – Вип. 58. – С. 112–119.

Рецензент: В. П. Кожушко, професор, д. т. н., ХНАДУ.

Стаття надійшла до редакції 27 лютого 2014 р.